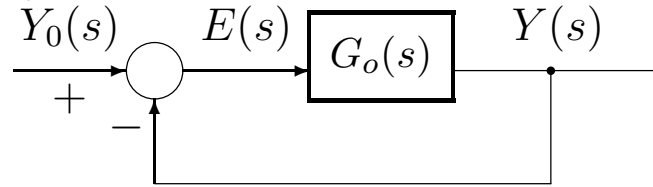


1. Kryterium Nyquista



Rys. 1

$$G_o(s) = \frac{Y(s)}{E(s)} = \frac{L_o(s)}{M_o(s)} \rightarrow G_z(s) = \frac{Y(s)}{Y_0(s)} = \frac{G_o(s)}{1+G_o(s)} = \frac{L_o(s)}{L_o(s)+M_o(s)} \quad (1)$$

równanie charakterystyczne ukł. otwartego: $M_o(s) = 0$;

równ. charakt. ukł. zamkniętego: $M_z(s) = L_o(s) + M_o(s) = 0$;

wielom. charakt. $M_z(s)$ ma te same miejsca zerowe, co wyrażenie:

$$1 + G_o(s) = \frac{L_o(s) + M_o(s)}{M_o(s)} \quad \text{czyli} \quad G_o(j\omega) = G_o(s)|_{s=j\omega} = -1.$$

Jeśli $G(j\omega) = |G(j\omega)|e^{j\varphi(\omega)}$, to ozn. $\arg[G(j\omega)] = \varphi(\omega)$

$$\Delta_{0 \leq \omega < \infty} \arg[1 + G_o(j\omega)] = \Delta_{0 \leq \omega < \infty} \underbrace{\arg[L_o(j\omega) + M_o(j\omega)]}_{M_z(j\omega)} - \Delta_{0 \leq \omega < \infty} \arg[M_o(j\omega)] \quad (2)$$

Jeśli ukł. zamknięty jest stabilny, wówczas na podst. kryterium Michajłowa:

$$\Delta_{0 \leq \omega < \infty} \arg[M_z(j\omega)] = \Delta_{0 \leq \omega < \infty} \arg[L_o(j\omega) + M_o(j\omega)] = n \frac{\pi}{2} \quad (3)$$

($n = \text{st. } M_z(s) = \text{st. } M_o(s)$ gdyż $\text{st. } L_o(s) \leq \text{st. } M_o(s)$)

Jeśli ukł. otwarty jest stabilny, to

$$\Delta_{0 \leq \omega < \infty} \arg[M_o(j\omega)] = n \frac{\pi}{2}, \quad (4)$$

a jeśli niestabilny (l biegunów w prawej półpł. zesp.), to

$$\Delta_{0 \leq \omega < \infty} \arg[M_o(j\omega)] = (n - 2l) \frac{\pi}{2}. \quad (5)$$

$$A(j\omega) = P(\omega) + jQ(\omega) = |A(j\omega)|e^{j\varphi(\omega)}, \quad \varphi(\omega) = \arg(A(j\omega))$$

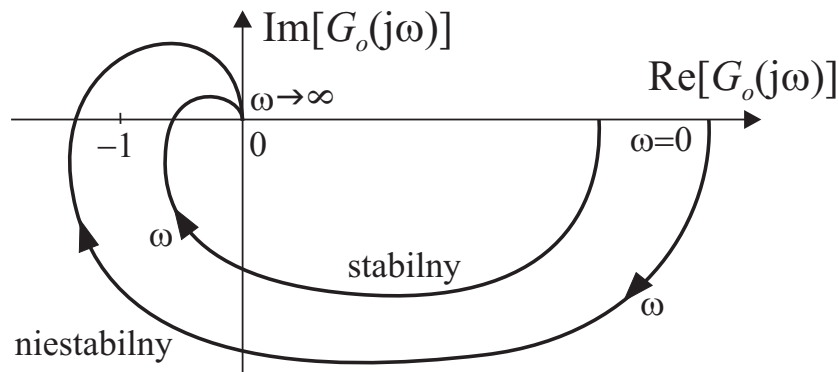
Jeśli ukł. otwarty jest stabilny, to ukł. zamkn. też stabilny jeśli

$$\Delta_{0 \leq \omega < \infty} \arg[1 + G_o(j\omega)] = n \frac{\pi}{2} - n \frac{\pi}{2} = 0, \quad (6)$$

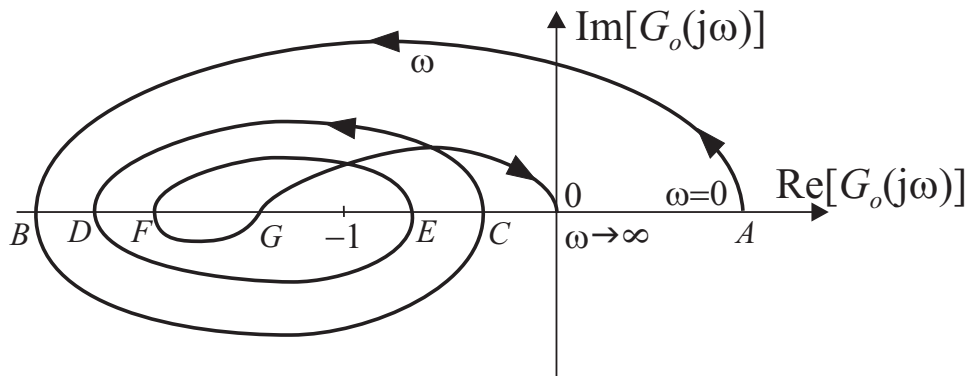
a jeśli ukł. otwarty jest niestabilny, to ukł. zamkn. stabilny jeśli

$$\Delta_{0 \leq \omega < \infty} \arg[1 + G_o(j\omega)] = n \frac{\pi}{2} - (n - 2l) \frac{\pi}{2} = l\pi = \frac{l}{2} \cdot 2\pi \quad (7)$$

$$(-1, j0), \quad l = k_1 + 2k_2 + 3k_3 + \dots$$



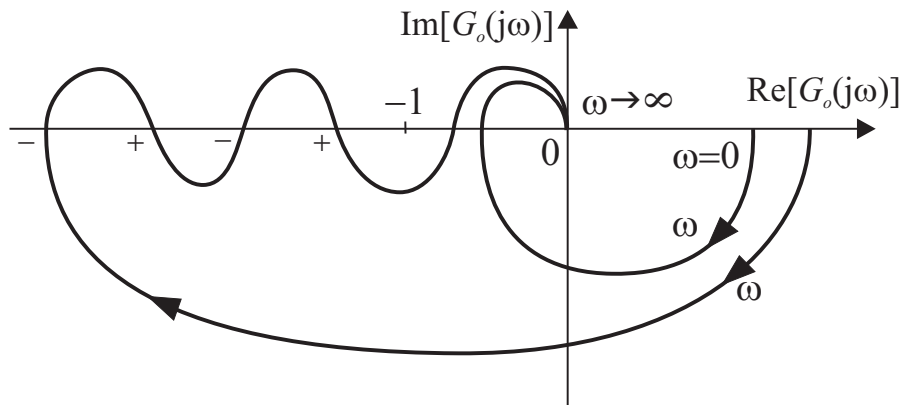
Rys. 2



Rys. 3

$$\left. \begin{array}{l} AB : \Delta_1\varphi = \pi, \quad EF : \Delta_5\varphi = \pi, \\ BC : \Delta_2\varphi = \pi, \quad FG : \Delta_6\varphi = 0, \\ CD : \Delta_3\varphi = \pi, \quad G0 : \Delta_7\varphi = -\pi, \\ DE : \Delta_4\varphi = \pi, \end{array} \right\} \Delta\varphi = \sum \Delta_i\varphi = 4\pi$$

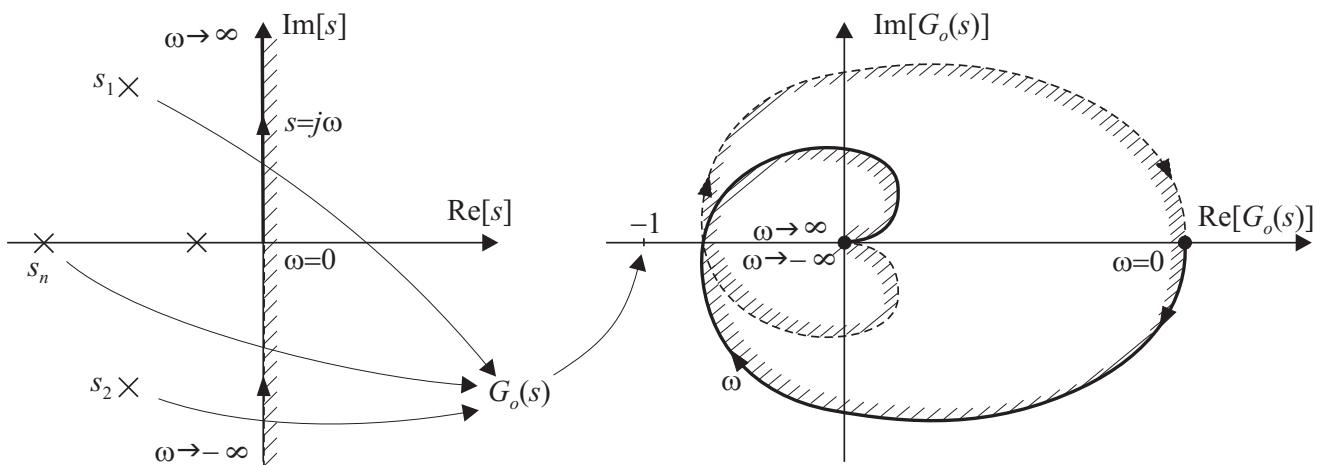
$\Delta\varphi = +2\pi$ między dwoma sąsiedn. przecięciami dodatnimi,
 $\Delta\varphi = -2\pi$ między dwoma sąsiedn. przecięciami ujemnymi,
 $\Delta\varphi = 0$ między sąsiedn. przecięciami dodatnim i ujemnym



Rys. 4 Układy stabilne po zamknięciu również stabilne

2. Odwzorowanie płaszczyzny zespolonej s na płaszczyznę zespoloną $G(s)$

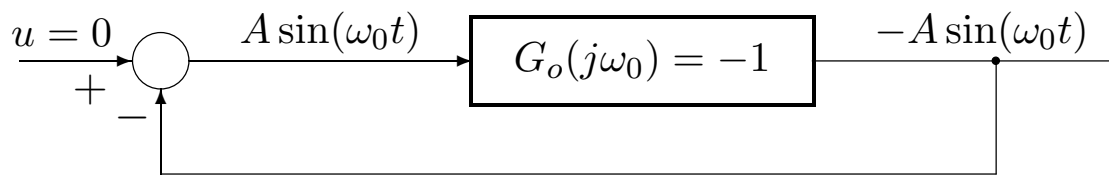
r. char. $M_z(s) = 0$ jest równoważne $1 + G_o(s) = 0$, tzn. $G_o(s) = -1$



Rys. 5

bieguny transm. ukł. zamkniętego s_1, s_2, \dots, s_n (pierwiastki równ. char. $M_z(s) = L_o(s) + M_o(s) = 0 \rightarrow G_o(s) = -1$

3. Kryterium Nyquista – podejście częstotliwościowe



Rys. 6

4. Kryterium Nyquista dla układu otwartego na granicy stabilności

$$G_o(s) = k_o \frac{(s - \sigma_1)(s - \sigma_2) \dots (s - \sigma_m)}{s(s - s_1)(s - s_2) \dots (s - s_{n-1})} \quad (8)$$

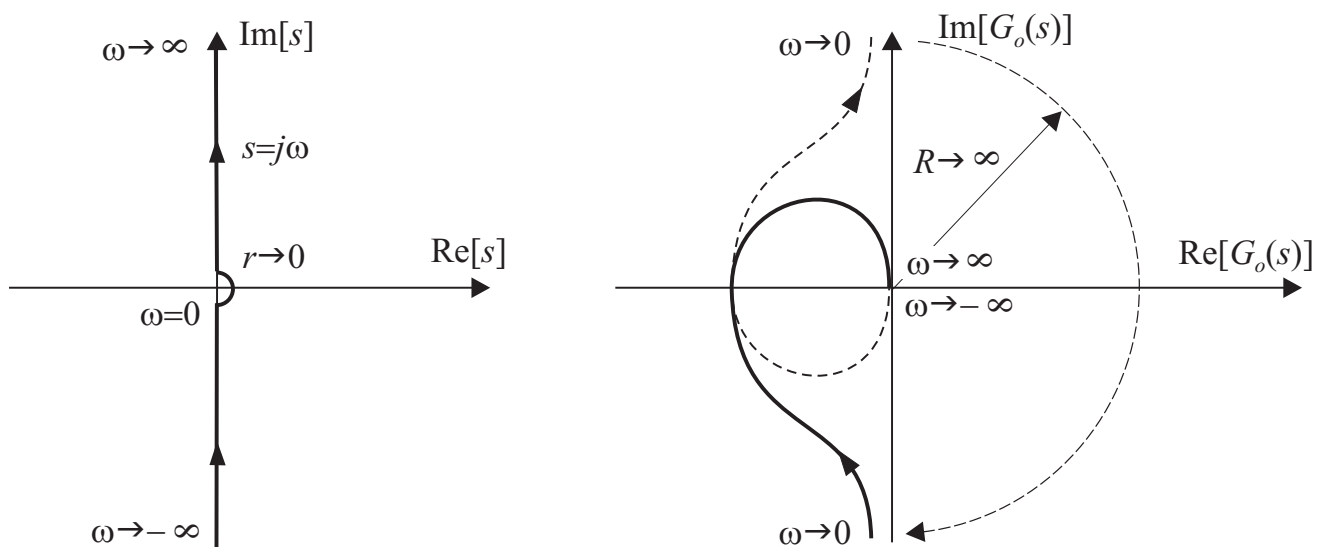
$m \leq n, \text{Re}(s_i) < 0, i = 1, 2, \dots, n - 1$ oraz $\sigma_j \neq 0, j = 1, 2, \dots, m$

$$s = re^{j\varphi}, \quad \varphi : -\frac{\pi}{2} \rightarrow \frac{\pi}{2}, \quad r \rightarrow 0, r > 0 \quad (9)$$

$$s \rightarrow 0 \Rightarrow G_o(s) \rightarrow \frac{B_o}{s}, \quad B_o = k_o \left(\prod_{j=1}^m (-\sigma_j) \right) / \left(\prod_{i=1}^{n-1} (-s_i) \right)$$

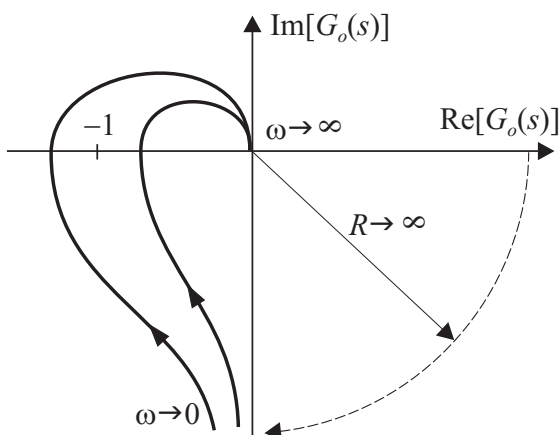
wtedy

$$G_o(s) \approx \frac{B_o}{s} = \frac{B_o}{re^{j\varphi}} = Re^{-j\varphi}, \quad R \rightarrow \infty, \quad -\varphi : \frac{\pi}{2} \rightarrow -\frac{\pi}{2} \quad (10)$$

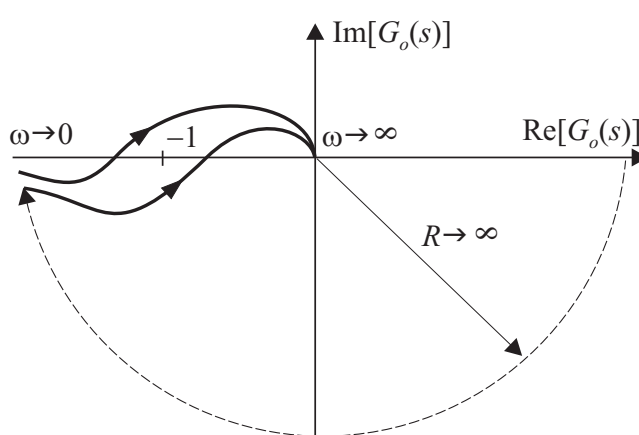


Rys. 7

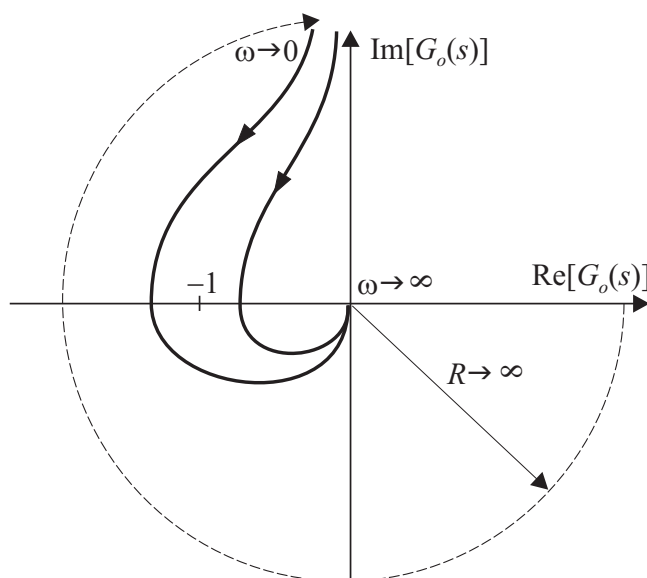
$$G_o(s) = \frac{L(s)}{s^\nu M_1(s)} \tag{11}$$



(a) $\nu = 1$



(b) $\nu = 2$



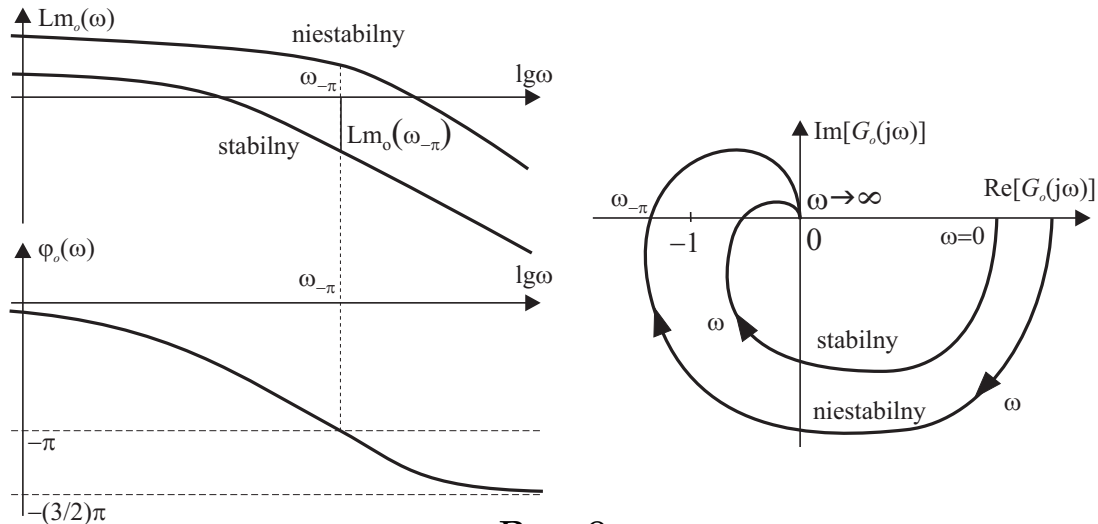
(c) $\nu = 3$

Rys. 8

5. Logarymiczne kryterium Nyquista

$$Lm_o(\omega) = 20 \lg |G_o(j\omega)|, \quad \varphi_o(\omega) = \arg(G_o(j\omega))$$

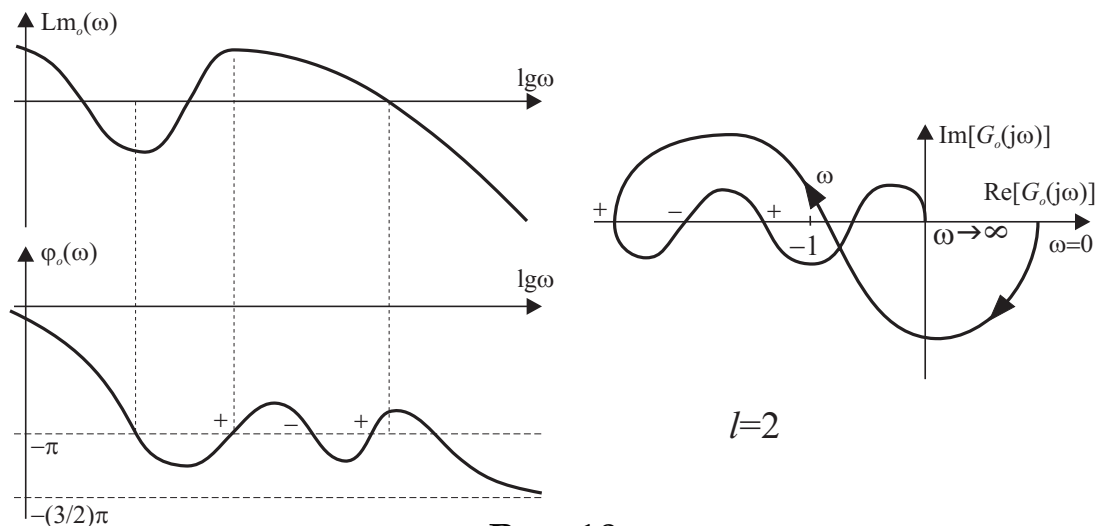
a) układ otwarty stabilny asymptotycznie



Rys. 9

$$\begin{aligned}
 Lm_o(\omega_{-\pi}) < 0 & \Leftrightarrow 0 < |G_o(j\omega_{-\pi})| < 1 \\
 Lm_o(\omega_{-\pi}) = 0 & \Leftrightarrow |G_o(j\omega_{-\pi})| = 1 \\
 Lm_o(\omega_{-\pi}) > 0 & \Leftrightarrow |G_o(j\omega_{-\pi})| > 1
 \end{aligned} \tag{12}$$

b) układ otwarty niestabilny (*l* biegunów w prawej półpł.)



Rys. 10

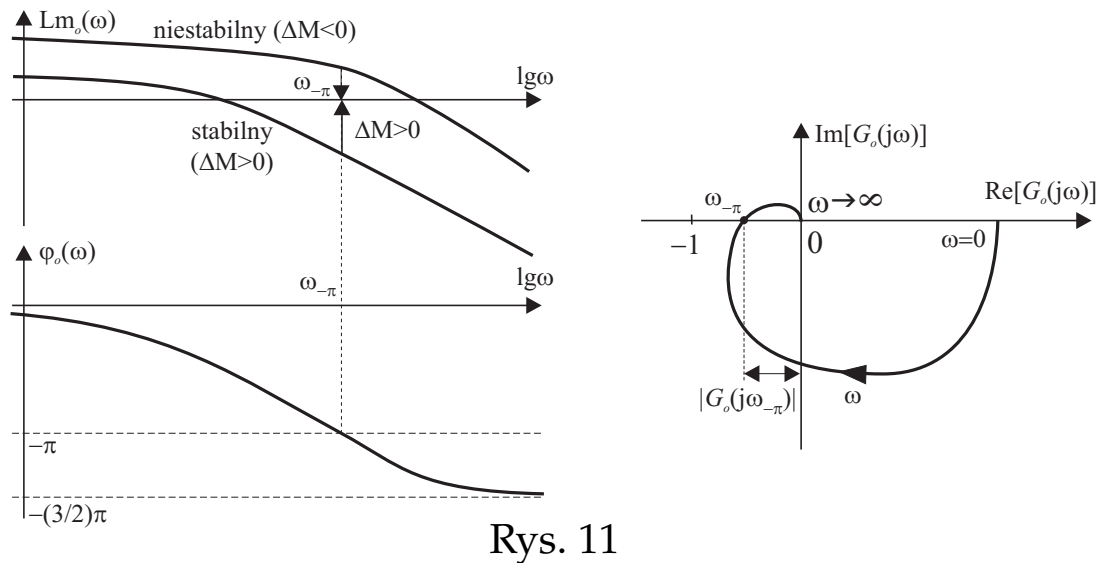
na lewo od $(-1, j0) \rightarrow Lm_o(j\omega) > 0$

6. Zapasy stabilności

Zapas modułu

liniowy: $\lambda = \frac{1}{|G_o(j\omega_{-\pi})|}$ (13)

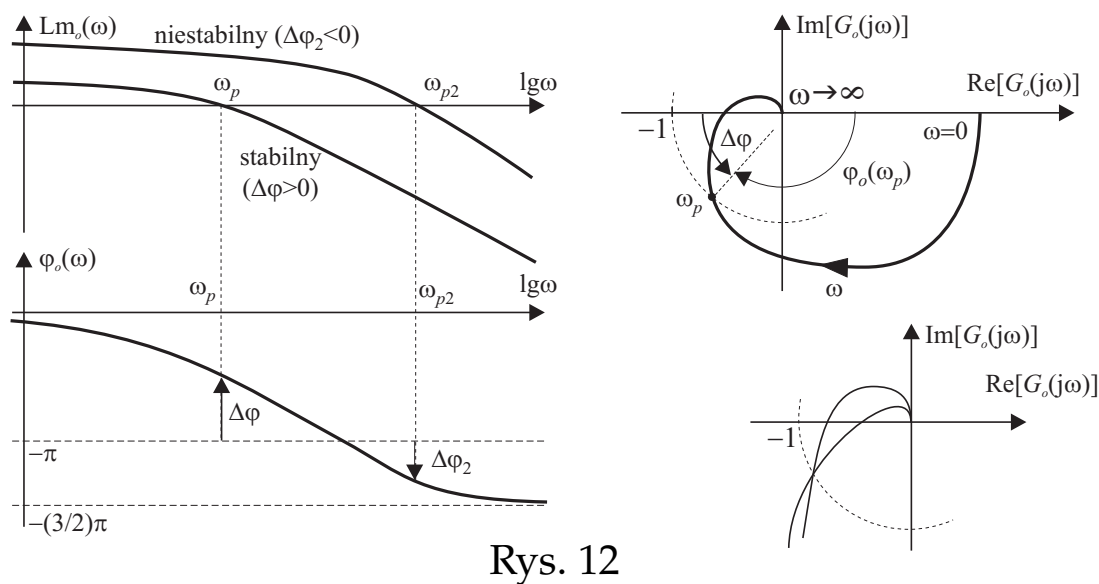
logarytmiczny: $\Delta M = 20 \lg \lambda = -20 \lg |G_o(j\omega_{-\pi})|$ (14)



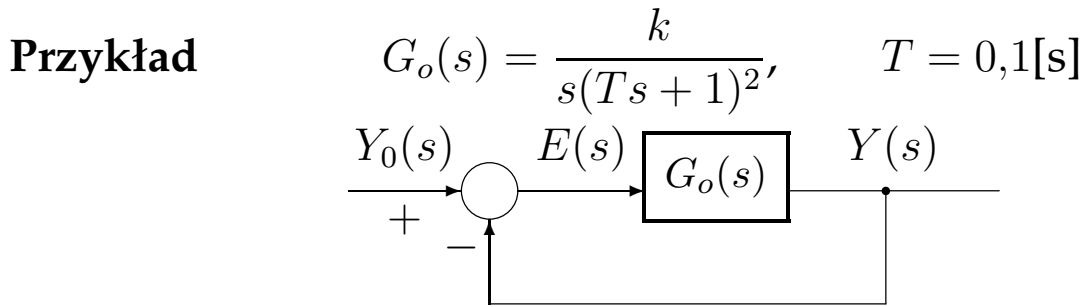
Rys. 11

Zapas fazy

$$-\pi + \Delta\varphi = \varphi_o(\omega_p) \Rightarrow \Delta\varphi = \varphi_o(\omega_p) + \pi \quad (15)$$



Rys. 12



Rys. 13 $\Delta M \geq 8[\text{dB}], \quad \Delta\varphi \geq 30^\circ = \pi/6$

$$|G_o(j\omega)| = \frac{k}{\omega(\omega^2 T^2 + 1)}, \quad \varphi_o(\omega) = -\frac{\pi}{2} - 2\arctg\omega T$$

Zapas modułu:

$$\begin{cases} \arg G_o(j\omega_{-\pi}) = -\pi \\ -20 \lg |G_o(j\omega_{-\pi})| \geq \Delta M = 8[\text{dB}] \quad (20 \lg |G_o(j\omega_{-\pi})| \leq -\Delta M) \end{cases}$$

$$-\frac{\pi}{2} - 2\arctg\omega T = -\pi \rightarrow -\arctg\omega T = -\frac{\pi}{4} \rightarrow \omega_{-\pi} = \frac{1}{T} = 10[\text{rad/s}]$$

$$20 \lg |G_o(j\omega_{-\pi})| \leq -8 \rightarrow \lg |G_o(j\omega_{-\pi})| \leq -0,4$$

$$|G_o(j\omega_{-\pi})| \leq 10^{-0,4} = 0,398 \approx 0,4$$

$$|G_o(j\omega_{-\pi})| = \frac{k}{\omega_{-\pi}(\omega_{-\pi}^2 T^2 + 1)} = \frac{k}{10(1 + 1)} = \frac{k}{20} \leq 0,4 \rightarrow k \leq 8$$

Zapas fazy:

$$\begin{cases} \arg G_o(j\omega_p) = -\pi + \Delta\varphi \\ 20 \lg |G_o(j\omega_p)| \leq 0 \quad (|G_o(j\omega_p)| \leq 1) \end{cases}$$

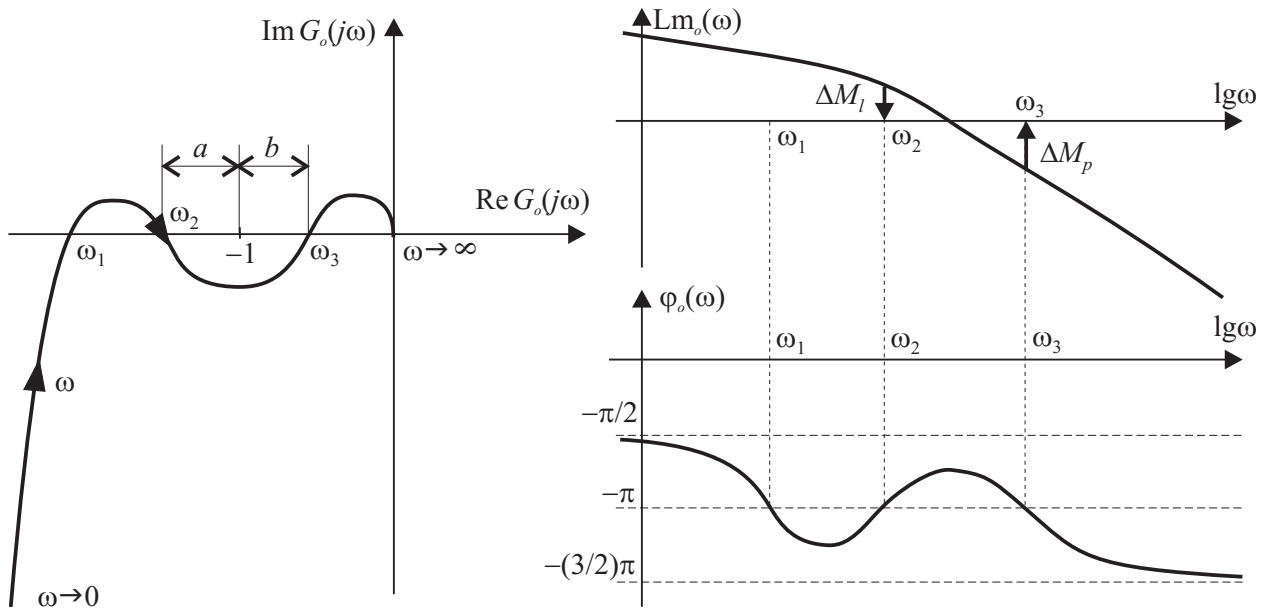
$$-\pi/2 - 2\arctg\omega T = -\pi + \pi/6 = -5\pi/6 \rightarrow -2\arctg\omega T = -\pi/3$$

$$\arctg\omega T = \frac{\pi}{6} \rightarrow \omega_p T = \sqrt{3}/3 \rightarrow \omega_p = 10\sqrt{3}/3$$

$$|G_o(j\omega_p)| = \frac{k}{\omega_p(\omega_p^2 T^2 + 1)} = \frac{k}{10\sqrt{3}/3(1/3 + 1)} = \frac{9k}{40\sqrt{3}} \leq 1$$

$$k \leq 40\sqrt{3}/9 \approx 7,69$$

7. Układy warunkowo stabilne

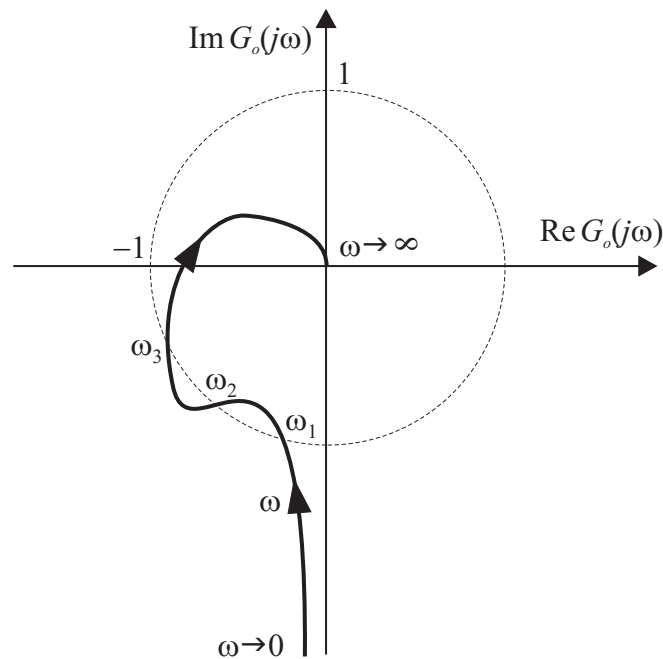


Rys. 14

$$\lambda_l = 1/a, \quad \lambda_p = 1/b,$$

$$\Delta M_l = 20 \lg \lambda_l = -20 \lg a, \quad \Delta M_p = 20 \lg \lambda_p = -20 \lg b$$

układ stabilny: $k \in (0, k_1) \cup (k_2, k_3)$



Rys. 15

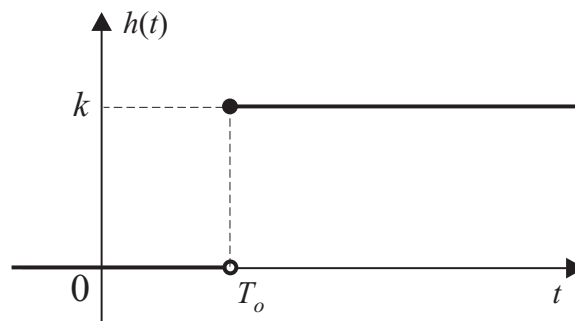
8. Element opóźniający

$$G(s) = \frac{Y(s)}{U(s)} = ke^{-sT_o}, \quad k > 0 \quad \rightarrow \quad (16)$$

$$\rightarrow y(t) = \mathcal{L}^{-1} [G(s)U(s)] = k u(t - T_o)$$

$$h(t) = \mathcal{L}^{-1} \left[\frac{G(s)}{s} \right] = k \mathbb{1}(t - T_o), \quad g(t) = \mathcal{L}^{-1} [G(s)] = k \delta(t - T_o)$$

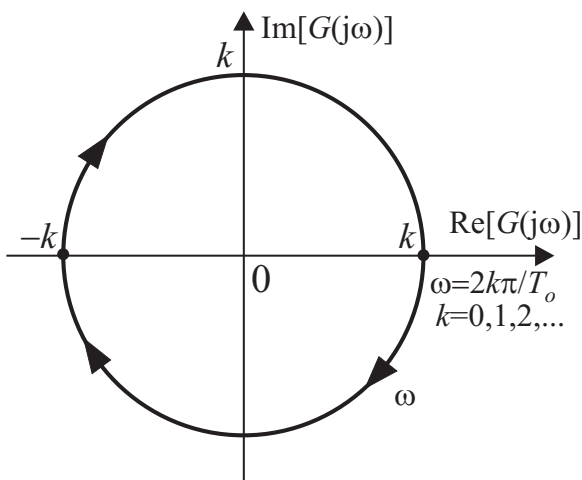
$$G(j\omega) = ke^{-j\omega T_o} = k[\cos(\omega T_o) - j \sin(\omega T_o)] \quad (17)$$



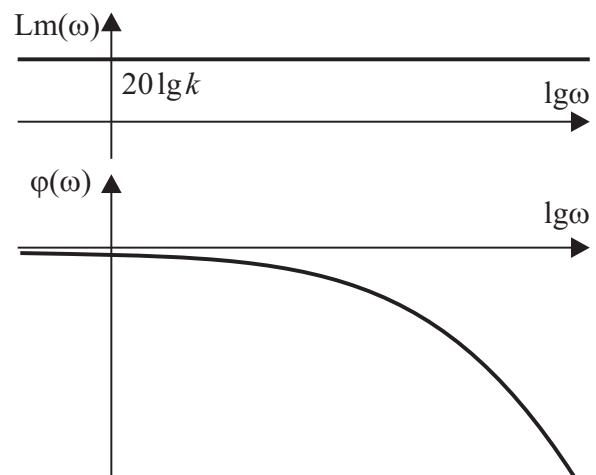
Rys. 16

$$\text{Lm}(\omega) = 20 \lg k + \underbrace{20 \lg |e^{-j\omega T_o}|}_{=0} = 20 \lg k, \quad (18)$$

$$\varphi(\omega) = -\omega T_o$$



(a)



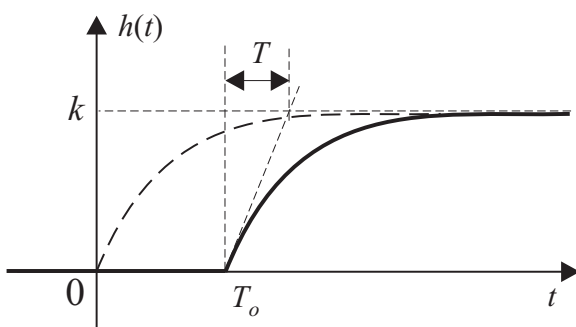
(b)

Rys. 17

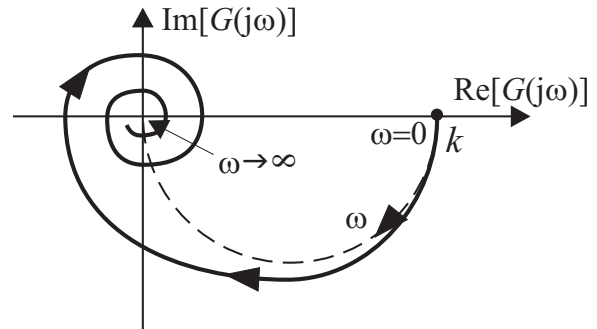
Przykład (element inercyjny 1-go rzędu z opóźnieniem)

$$G(s) = \frac{k}{1 + sT} e^{-sT_o}, \quad k > 0 \quad \rightarrow \quad h(t) = k \left(1 - e^{-\frac{t-T_o}{T}} \right) \mathbb{1}(t - T_o)$$

$$|G(j\omega)| = \frac{k}{\sqrt{1 + \omega^2 T^2}} \cdot 1, \quad \varphi(\omega) = -\arctg(\omega T) - \omega T_o$$



(a)



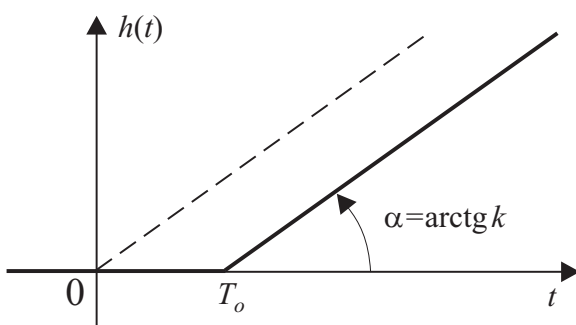
(b)

Rys. 18

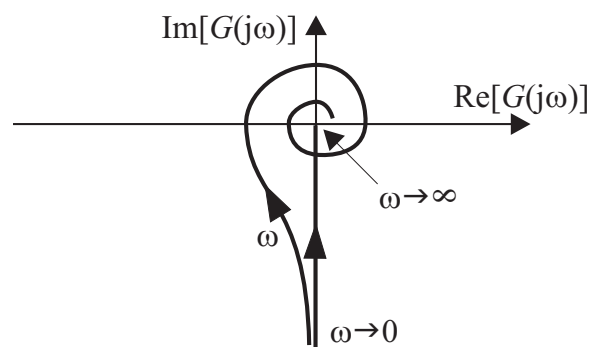
Przykład (element całkujący idealny z opóźnieniem)

$$G(s) = \frac{k}{s} e^{-sT_o}, \quad k > 0 \quad \rightarrow \quad h(t) = k(t - T_o) \mathbb{1}(t - T_o)$$

$$|G(j\omega)| = \frac{k}{\omega} \cdot 1, \quad \varphi(\omega) = -\frac{\pi}{2} - \omega T_o$$



(a)

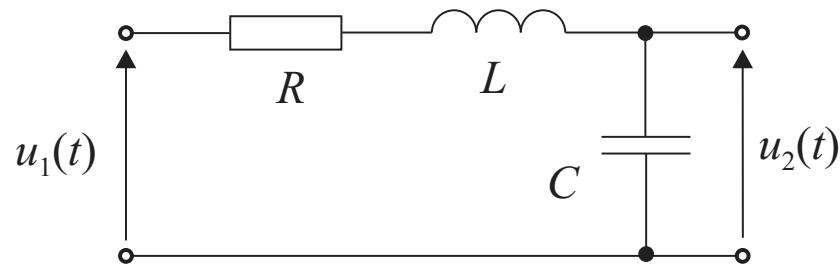


(b)

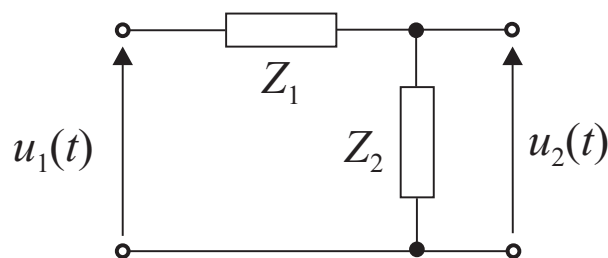
Rys. 19

9. Układy dynamiczne drugiego rzędu

Przykład



Rys. 20



Rys. 21

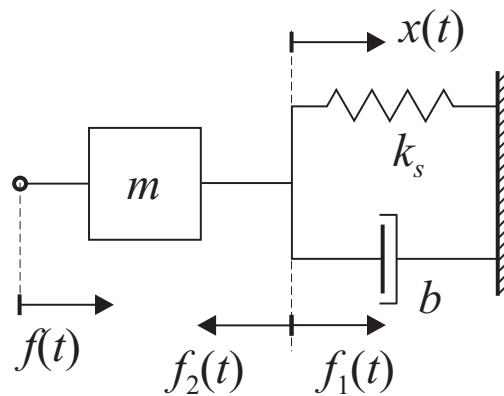
$$Z_1(s) = R + sL \qquad Z_2(s) = \frac{1}{sC}$$

$$\begin{aligned} G(s) &= \frac{U_2(s)}{U_1(s)} = \frac{Z_2(s)}{Z_1(s) + Z_2(s)} = \frac{\frac{1}{sC}}{R + sL + \frac{1}{sC}} = \\ &= \frac{1}{s^2 LC + sRC + 1} = \frac{\frac{1}{LC}}{s^2 + s\frac{R}{L} + \frac{1}{LC}} \end{aligned}$$

$$G(s) = \frac{k}{T_n^2 s^2 + 2\zeta T_n s + 1}$$

$$k = 1, \quad T_n = \sqrt{LC}, \quad 2\zeta T_n = RC \rightarrow \zeta = \frac{RC}{2T_n} = \frac{RC}{2\sqrt{LC}} = \frac{R}{2} \sqrt{\frac{C}{L}}$$

Przykład



Rys. 22

$$f(t) = m \frac{d^2 x(t)}{dt^2} + f_1(t),$$

$$f_2(t) = k_s [0 - x(t)] + b \left[0 - \frac{dx(t)}{dt} \right],$$

$$f_1(t) + f_2(t) = 0,$$

$$f(t) = m \frac{d^2 x(t)}{dt^2} - f_2(t) = m \frac{d^2 x(t)}{dt^2} + b \frac{dx(t)}{dt} + k_s x(t),$$

$$F(s) = (ms^2 + bs + k_s)X(s),$$

$$G(s) = \frac{X(s)}{F(s)} = \frac{1}{ms^2 + bs + k_s} = \frac{\frac{1}{k_s}}{\frac{m}{k_s}s^2 + \frac{b}{k_s}s + 1}$$

$$G(s) = \frac{k}{T_n^2 s^2 + 2\zeta T_n s + 1}$$

$$k = \frac{1}{k_s}, \quad T_n = \sqrt{\frac{m}{k_s}}$$

$$2\zeta T_n = \frac{b}{k_s} \rightarrow \zeta = \frac{b}{2k_s T_n} = \frac{b}{2k_s} \sqrt{\frac{k_s}{m}} = \frac{b}{2\sqrt{k_s m}}$$

$$G(s) = \frac{k}{T_n^2 s^2 + 2\zeta T_n s + 1} = \frac{k\omega_n^2}{s^2 + 2\zeta\omega_n s + \omega_n^2} \quad (19)$$

k wzmacnienie,

T_n stała czasowa,

$\omega_n = 1/T_n > 0$ pulsacja drgań nietłumionych (p. naturalna),

ζ współczynnik tłumienia (rozważamy $\zeta \geq 0$),

równanie charakterystyczne:

$$s^2 + 2\zeta\omega_n s + \omega_n^2 = 0$$

$$\Delta = 4\omega_n^2(\zeta^2 - 1)$$

a) układ przetłumiony (ang. overdamped): $\zeta > 1, \Delta > 0$

$$\sqrt{\Delta} = 2\omega_n \sqrt{\zeta^2 - 1}$$

$$s_{1/2} = \frac{-2\omega_n\zeta \pm 2\omega_n\sqrt{\zeta^2 - 1}}{2}$$

$$s_1 = -\omega_n(\zeta - \sqrt{\zeta^2 - 1}), \quad s_2 = -\omega_n(\zeta + \sqrt{\zeta^2 - 1}), \quad (20)$$

$$s_1 s_2 = \omega_n^2 (\zeta^2 - (\zeta^2 - 1)) = \omega_n^2$$

$$\begin{aligned} G(s) &= \frac{k\omega_n^2}{(s - s_1)(s - s_2)} = \frac{k\omega_n^2}{s_1 s_2 \left(-\frac{1}{s_1}s + 1\right) \left(-\frac{1}{s_2}s + 1\right)} = \\ &= \frac{k}{(T_1 s + 1)(T_2 s + 1)}, \end{aligned} \quad (21)$$

gdzie $T_1 = -\frac{1}{s_1}, T_2 = -\frac{1}{s_2}$, a wtedy $T_1 T_2 = \frac{1}{\omega_n^2}, T_1 + T_2 = \frac{2\zeta}{\omega_n}$

$$h(t) = k \left(1 - \frac{T_1 e^{-t/T_1} - T_2 e^{-t/T_2}}{T_1 - T_2} \right) \mathbb{1}(t)$$

b) układ tłumiony krytycznie: $\zeta = 1, \Delta = 0$

$$s_0 = -\frac{2\zeta\omega_n}{2} = -\zeta\omega_n = -\omega_n, \tag{22}$$

$$G(s) = \frac{k\omega_n^2}{(s - s_0)^2} = \frac{k\omega_n^2}{(s + \omega_n)^2} = \frac{k}{(Ts + 1)^2}, \tag{23}$$

gdzie $T = -\frac{1}{s_0} = \frac{1}{\omega_n}$

$$h(t) = \mathcal{L}^{-1} \left[G(s) \frac{1}{s} \right] = \mathcal{L}^{-1} \left[\frac{k\omega_n^2}{(s + \omega_n)^2 s} \right] = k [1 - (1 + \omega_n t) e^{-\omega_n t}] \mathbb{1}(t)$$

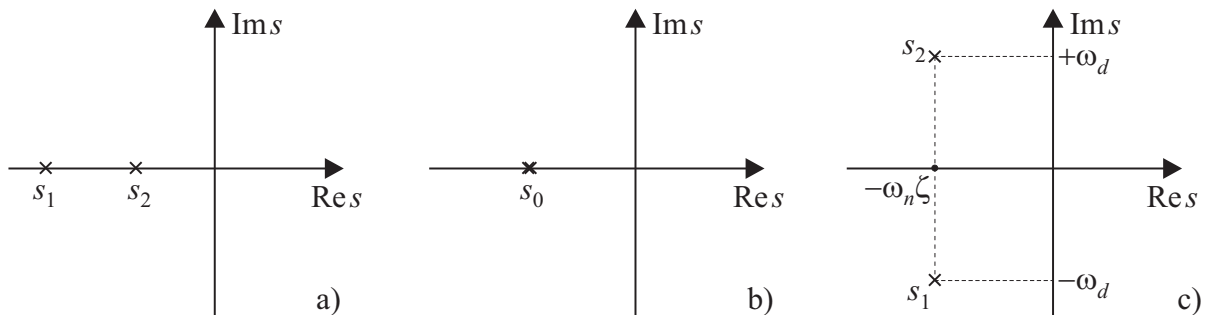
przebieg aperiodyczny krytyczny (24)

c) układ niedotłumiony (ang. underdamped): $0 \leq \zeta < 1, \Delta < 0$

$$\sqrt{\Delta} = \sqrt{4\omega_n^2(\zeta^2 - 1)} = j2\omega_n \sqrt{1 - \zeta^2}$$

$$s_{1/2} = \frac{-2\omega_n\zeta \pm j2\omega_n \sqrt{1 - \zeta^2}}{2}, \quad \omega_d = \omega_n \sqrt{1 - \zeta^2}$$

$$\begin{cases} s_1 = -\omega_n(\zeta - j\sqrt{1 - \zeta^2}) = -\omega_n\zeta - j\omega_d \\ s_2 = -\omega_n(\zeta + j\sqrt{1 - \zeta^2}) = -\omega_n\zeta + j\omega_d \end{cases} \tag{25}$$



Rys. 23